

# Órgãos de Máquinas

## Dimensionamento à Fadiga – Aula TP 1

Carlos M. C. G. Fernandes

### 1 Exemplo de cálculo de fadiga uniaxial [1]

Fazer a verificação à fadiga do veio representado na Figura 1, de aço maquinado ( $E = 210 \text{ GPa}$ ) com uma tensão de rotura  $\sigma_r = 670 \text{ MPa}$ , tensão de cedência  $\sigma_{ced} = 410 \text{ MPa}$  e dureza Brinell  $HBN = 210$ . O veio está animado de uma velocidade angular  $\omega$  e é simplesmente apoiado nas extremidades através de rolamentos e sujeito a uma carga constante de  $F = 10\,000 \text{ N}$  a meio vão. Considere uma concordância  $r = 0.1 \cdot d_2$

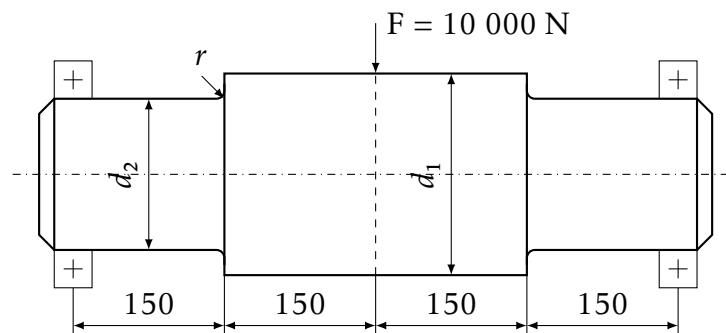


Figura 1: Veio rotativo sujeito à flexão.

Pretende-se o dimensionamento estático impondo:

1. 1 mm de flecha máxima
2.  $d_2 = \frac{3}{4} \cdot d_1$

#### 1.1 Dimensionamento estático

##### 1.1.1 Reações nos apoios

O diagrama de corpo livre do veio está apresentado na Figura 2.

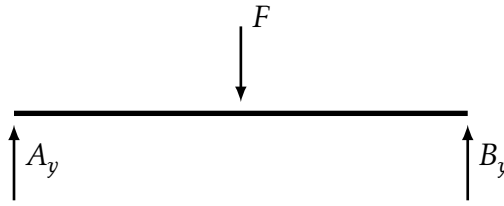


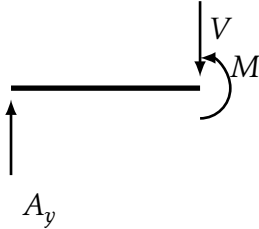
Figura 2: Diagrama de corpo livre do veio

O equilíbrio estático do veio está descrito pelo sistema de equações (1).

$$\begin{cases} \sum F_y = 0 \Leftrightarrow A_y + B_y - F = 0 \Leftrightarrow A_y = \frac{F}{2} \\ \sum M_A = 0 \Leftrightarrow 600 \times B_y - 300 \times F = 0 \Leftrightarrow B_y = \frac{F}{2} \end{cases} \quad (1)$$

### 1.1.2 Diagrama do momento fletor

Para o tramo do veio compreendido entre  $0 \leq x < 300$  o momento fletor pode ser calculado como definido na Figura 3. Consideramos a origem do sistema de eixos no rolamento esquerdo.

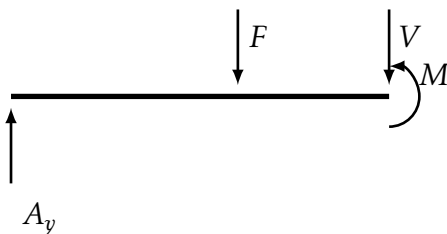


$$M(x) - A_y \cdot x = 0$$

$$M(x) = \frac{F}{2} \cdot x$$

Figura 3: Troço do veio entre  $0 \leq x < 300$ .

Para o tramo do veio compreendido entre  $300 \leq x \leq 600$  o momento fletor pode ser calculado como definido na Figura 4.



$$M(x) - A_y \cdot x + F \cdot (x - 300) = 0$$

$$M(x) = -\frac{F}{2} \cdot x + 300 \times F$$

Figura 4: Troço do veio entre  $300 \leq x \leq 600$ .

O diagrama do momento fletor que atua no veio está representado na Figura 5.

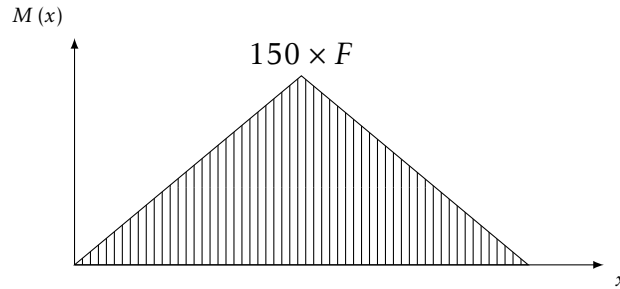


Figura 5: Diagrama de momento fletor do veio.

### 1.1.3 2º momento de área

o segundo momento de área para uma seção cilíndrica é dado pela equação (2).

$$I = \frac{\pi \cdot d^4}{64} \quad (2)$$

### 1.1.4 Flecha máxima

A flecha máxima não deverá exceder o valor de  $\delta_{max} \leq 1 \text{ mm}$ .

Uma forma expedita de determinar a flecha, neste caso seria recorrendo ao Teorema de Castigliano.

**Teorema de Castigliano 1** *A derivada da energia de deformação em ordem à solicitação é igual ao deslocamento do ponto de aplicação da força, na sua direção.*

Precisamos então de conhecer a energia de deformação elástica do veio. Para vigas sujeitas à flexão, a derivada da energia de deformação em ordem ao comprimento da viga será dado pela equação (3).

$$dU = \frac{M^2 dx}{2 \cdot E \cdot I} \quad (3)$$

Para o caso em estudo, a energia de deformação será obtida pela integração da equação (3) em cada tramo do veio, tal como definido na equação (4).

$$U = 2 \int_0^{150} \frac{M^2}{2 \cdot E \cdot I_2} dx + 2 \int_{150}^{300} \frac{M^2}{2 \cdot E \cdot I_1} dx \quad (4)$$

Substituindo agora o valor do momento fletor em cada tramo, obtemos:

$$U = 2 \int_0^{150} \frac{\left(\frac{F}{2}x\right)^2}{2 \cdot E \cdot I_2} dx + 2 \int_{150}^{300} \frac{\left(\frac{F}{2}x\right)^2}{2 \cdot E \cdot I_1} dx \quad (5)$$

E após integrar, o resultado é dado pela equação (6).

$$U = \frac{2}{2 \cdot E \cdot I_2} \frac{F^2}{4} \left[ \frac{x^3}{3} \right]_0^{150} + \frac{2}{2 \cdot E \cdot I_1} \frac{F^2}{4} \left[ \frac{x^3}{3} \right]_{150}^{300} \quad (6)$$

Como já foi visto, agora deveremos derivar a energia elástica de deformação em ordem à carga aplicada para obter o deslocamento do ponto de aplicação da força, na sua direção, que neste caso coincide com o ponto de flecha máxima – equação (7).

$$\delta = \frac{\partial U}{\partial F} = \frac{1}{2 \cdot E \cdot I_2} F \left( \frac{150^3}{3} \right) + \frac{1}{2 \cdot E \cdot I_1} F \left( \frac{300^3 - 150^3}{3} \right) \quad (7)$$

Relembrar que a flecha máxima imposta será  $\delta_{max} = 1$  mm. Ver equações (8) a (13).

$$\frac{1}{2 \cdot E \cdot \left(\frac{\pi \cdot d_2^4}{64}\right)} F \left( \frac{150^3}{3} \right) + \frac{1}{2 \cdot E \cdot \left(\frac{\pi \cdot d_1^4}{64}\right)} F \left( \frac{300^3 - 150^3}{3} \right) = 1 \quad (8)$$

$$\frac{1}{2 \cdot E \cdot \left(\frac{\pi \cdot \left(\frac{3}{4} \cdot d_1\right)^4}{64}\right)} F \left( \frac{150^3}{3} \right) + \frac{1}{2 \cdot E \cdot \left(\frac{\pi \cdot d_1^4}{64}\right)} F \left( \frac{300^3 - 150^3}{3} \right) = 1 \quad (9)$$

$$\frac{32 \times F}{3 \times E} \times \left( \frac{4^4 \times 150^3}{3^4 \times \pi \times d_1^4} + \frac{300^3 - 150^3}{\pi \times d_1^4} \right) \quad (10)$$

$$\frac{32 \times F}{3 \times E} \times \left( \frac{4^4 \times 150^3 + 3^4 \times 300^3 - 3^4 \times 150^3}{3^4 \times \pi \times d_1^4} \right) = 1 \quad (11)$$

$$d_1^4 = \frac{32 \times F}{3 \times E} \times \frac{4^4 \times 150^3 + 3^4 \times 300^3 - 3^4 \times 150^3}{3^4 \times \pi} \quad (12)$$

$$d_1 = \sqrt[4]{\frac{32 \times 10000}{3 \times 210000} \times \frac{4^4 \times 150^3 + 3^4 \times 300^3 - 3^4 \times 150^3}{3^4 \times \pi}} \quad (13)$$

O diâmetro do veio no tramo mais espesso será:

$$d_1 = 48.525 \approx 49 \text{ mm} \quad (14)$$

Obtemos finalmente as dimensões de ambos os tramos do veio arredondando à unidade.

$$\begin{cases} d_1 = 49 \text{ mm} \\ d_2 = 37 \text{ mm} \end{cases} \quad (15)$$

## 1.2 Verificação à Fadiga

### 1.2.1 Seções críticas

Para  $x = 150 \text{ mm}$ :

$$M(150) = 150 \times \frac{F}{2} = 750\,000 \text{ N mm} = 750 \text{ N m} \quad (16)$$

$$\sigma = \frac{M \cdot \frac{d_2}{2}}{I_2} = \frac{32 \cdot M}{\pi \cdot d_2^3} = \frac{32 \cdot 750\,000}{\pi \cdot 37^3} = 150.82 \text{ MPa} \quad (17)$$

Para  $x = 300 \text{ mm}$ :

$$M(300) = 300 \times \frac{F}{2} = 1\,500\,000 \text{ N mm} = 1500 \text{ N m} \quad (18)$$

$$\sigma = \frac{M \cdot \frac{d_1}{2}}{I_1} = \frac{32 \cdot M}{\pi \cdot d_1^3} = \frac{32 \cdot 1\,500\,000}{\pi \cdot 49^3} = 129.87 \text{ MPa} \quad (19)$$

Os resultados permitem verificar que a seção crítica é a mudança de seção de  $d_2$  para  $d_1$ , agravado do facto de haver concentração de tensões.

### 1.2.2 Características da solicitação de fadiga

Tensão média:

$$\sigma_m = \frac{\sigma_{\text{máx}} + \sigma_{\text{min}}}{2} = \frac{\sigma - \sigma}{2} = 0 \quad (20)$$

Amplitude de Tensão:

$$\sigma_a = \frac{\sigma_{\text{máx}} - \sigma_{\text{min}}}{2} = \frac{\sigma - (-\sigma)}{2} = \sigma \quad (21)$$

### 1.3 Fator de concentração de tensões

Pela consulta da Figura 6, podemos determinar o valor do fator de concentração de tensões  $K_t \approx 1.7$ , para  $r/d = 0.1$  e  $D/d \approx 1.3$ .

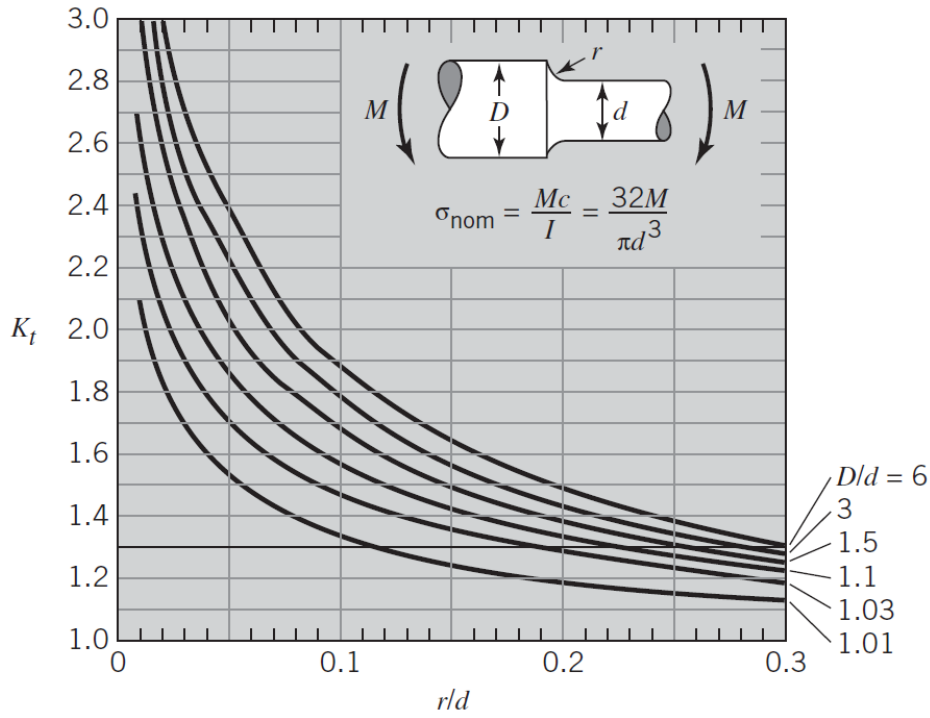


Figura 6: Fator de concentração de tensões para veios sujeitos a flexão [2].

O fator concentração de tensões “prático” ou de “fadiga” é então calculado pela equação (22).

$$K_f = 1 + q \cdot (K_t - 1) \quad (22)$$

Para este caso, o índice de sensibilidade ao entalhe  $q \approx 1$ , tal como indicado na Figura 7 para um aço temperado e revenido que tem uma dureza Brinell  $HBN > 200$ . Deste modo o fator prático de concentração de tensões é  $K_f = 1.7$ .

#### 1.3.1 Tensão limite de fadiga

Para aços com tensão de rotura  $\sigma_R < 1400$  MPa, a tensão limite de fadiga será  $\sigma_{f0} = 0.5 \cdot \sigma_R$ . Para o presente aço, será  $\sigma_{f0} = 0.5 \times 670 = 335$  MPa

$$\sigma_{f0}^c = C_1 \cdot C_2 \cdot C_3 \cdot C_4 \cdot \sigma_{f0} \quad (23)$$

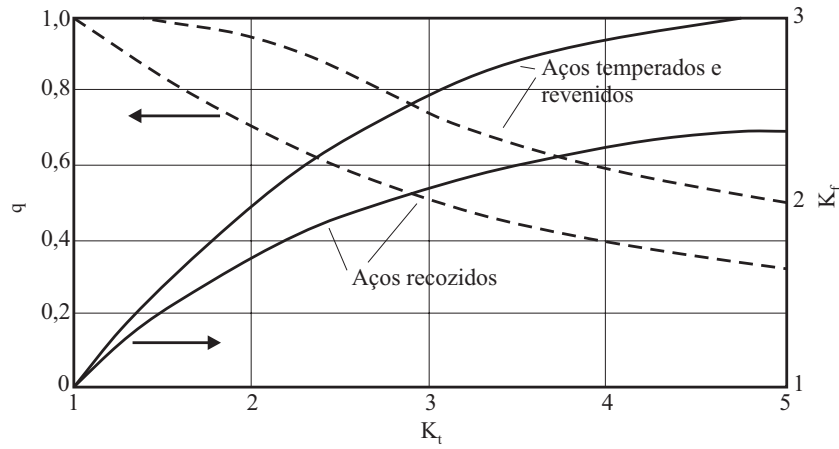


Figura 7: Índice de sensibilidade ao entalhe (aço temperado e revenido,  $HBN > 200$ ) [1].

Para um diâmetro compreendido entre  $2.79 \leq d < 51$  mm, a equação (24) permite determinar o fator para o efeito do tamanho. Alternativamente poderia ser determinado de forma gráfica em [1, 3].

$$C_2 = 1.24 \cdot d^{-0.107} = 1.24 \times 37^{-0.107} = 0.843 \quad (24)$$

Para aço maquinado a equação (25) permite determinar o fator para o efeito do acabamento superficial. Os coeficientes podem ser consultados na Tabela 1 Alternativamente poderia ser determinado de forma gráfica em [1, 3].

$$C_3 = a \cdot \sigma_R^b = 4.51 \times 670^{-0.265} = 0.804 \quad (25)$$

Tabela 1: Coeficientes a considerar para cálculo do efeito do acabamento superficial [3].

Tipo	a / MPa	b
Retificado	1.58	-0.085
Maquinado	4.51	-0.265
Laminado	57.7	-0.718
Forjado	272	-0.995

Os valores dos coeficientes de correção da tensão limite de fadiga para o caso em estudo estão definidos na Tabela 2. Neste caso não foram considerados outros fatores, pelo que  $C_4 = 1$ .

Tabela 2: Coeficientes de correção da tensão limite de fadiga.

Fator	Efeito	Valor
$C_1$	tipo de carga	1
$C_2$	tamanho	0.842
$C_3$	acabamento	0.804
$C_4$	outros	1

Neste caso teríamos uma tensão limite de fadiga corrigida  $\sigma_{f0}^c = 1 \times 0.842 \times 0.804 \times 1 \times 335 = 226.78 \text{ MPa}$

### 1.3.2 Critério de Soderberg

O critério de Soderberg é dado pela equação (26).

$$\frac{\sigma_a}{\sigma_{f0}} + \frac{\sigma_m}{\sigma_{ced}} = 1 \quad (26)$$

Em situações práticas deveremos corrigir a tensão limite de fadiga, aplicar o fator de concentração de tensões de fadiga à solicitação cíclica e considerar um coeficiente de segurança:

$$\frac{K_f \cdot \sigma_a}{\sigma_{f0}^c} + \frac{\sigma_m}{\sigma_{ced}} = \frac{1}{C.S} \quad (27)$$

No caso em análise, a tensão média  $\sigma_m = 0$ , então vem que:

$$\frac{1.7 \times 150.82}{226.78} + \frac{0}{410} = \frac{1}{C.S} \Leftrightarrow C.S = 0.884 \quad (28)$$

### 1.3.3 Aumentar coeficiente de segurança

Possíveis soluções para aumentar o coeficiente de segurança para valores recomendados ( $C.S = 2$ ):

- reduzir a carga;
- aumentar os diâmetros;
- aumentar o raio da concordância;
- usar outro material.



## 2 Vida Finita

O tratamento que se segue, aplica-se diretamente, apenas no caso de estarmos perante uma solitação cíclica “alternada pura”.

### 2.1 Curva SN simplificada

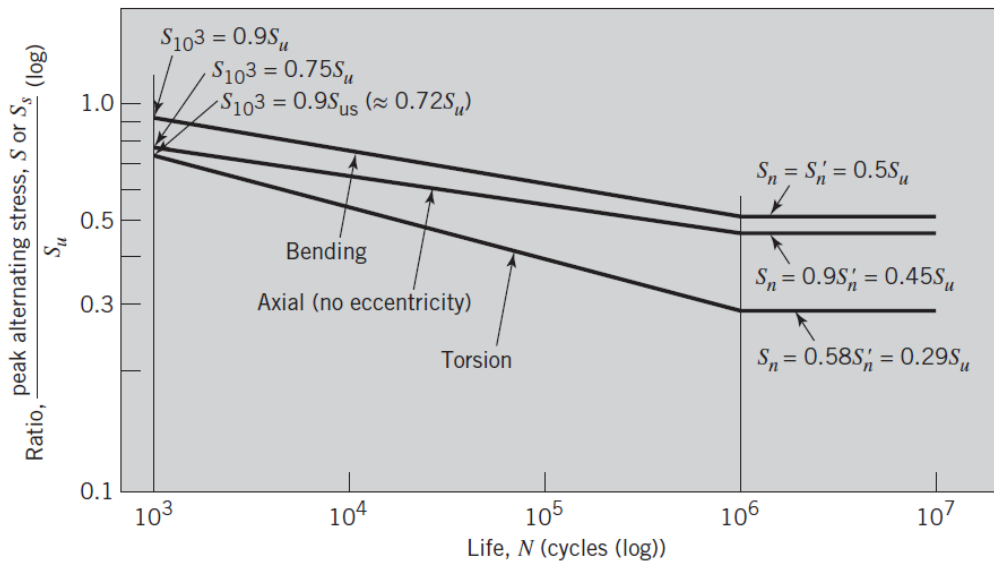


Figura 8: Curvas SN generalizadas para provetes de aço polido de 0.3 polegadas de diâmetro (com base em tensões elásticas calculadas, ignorando deformação plástica) [2].

Podemos assim definir os pontos característicos da curva SN para cada um dos casos de interesse: flexão, tração e torção, tal como resumido na Tabela 3.

Tabela 3: Pontos característicos das curvas SN			
Nº de ciclos	$\frac{\sigma}{\sigma_R}$ – Flexão	$\frac{\sigma}{\sigma_R}$ – Tração	$\frac{\tau}{\sigma_R}$ – Torção
$10^3$	0.9	0.9	0.74 ( $0.9 \times 0.82$ )
$10^6$	0.5	0.43	0.29 ( $0.5 \times \frac{1}{\sqrt{3}}$ )

A curva SN, quando representada num gráfico com eixos log – log, pode ser aproximada a uma reta cuja a equação geral é  $y = m \cdot x + b$ .

Para o caso particular de se pretender determinar a equação da curva SN simplificada para o caso de flexão, consideremos os dois pares de pontos de interesse  $(\log(10^3), \log(0.9))$  e  $(\log(10^6), \log(0.5))$  no sistema de equações (29).

$$\begin{cases} \log(0.9) = m \cdot \log(10^3) + b \Leftrightarrow b = \log(0.9) - m \cdot \log(10^3) \\ \log(0.5) = m \cdot \log(10^6) + b \Leftrightarrow \log(0.5) = m \cdot \log(10^6) + \log(0.9) - m \cdot \log 10^3 \end{cases} \quad (29)$$

Deste modo fica conhecido o declive da reta:

$$m = \frac{\log\left(\frac{0.5}{0.9}\right)}{\log\left(\frac{10^6}{10^3}\right)} = -0.085091 \quad (30)$$

Façamos o ponto de interseção com o eixo das ordenadas como sendo  $b = \log(a)$ , vem que:

$$\log\left(\frac{\sigma}{\sigma_R}\right) = m \cdot \log(10^N) + \log(a) \quad (31)$$

Agrupando os logaritmos à direita, a equação fica:

$$\log\left(\frac{\sigma}{\sigma_R}\right) = \log(a \cdot 10^{m \cdot N}) \quad (32)$$

Podemos simplificar o logaritmo em ambos os lados da equação (32) e obter a seguinte equação (33) onde o declive é já conhecido:

$$\frac{\sigma}{\sigma_R} = a \cdot 10^{m \cdot N} = a \cdot 10^{-0.085091 \cdot N} \quad (33)$$

Para  $N = 3$ , é conhecido o valor de  $\frac{\sigma}{\sigma_R} = 0.9$  e assim fica conhecido o valor de  $a$  na equação (34).

$$0.9 = a \cdot 10^{-0.085091 \cdot 3} \Leftrightarrow a = 1.62 \quad (34)$$

Para o caso de flexão a equação da curva SN simplificada seria:

$$\frac{\sigma}{\sigma_R} = 1.62 \cdot 10^{-0.085091 \cdot N} \quad (35)$$

Para tração:

$$\frac{\sigma}{\sigma_R} = 1.88 \cdot 10^{-0.106935 \cdot N} \quad (36)$$

Para torção:

$$\frac{\tau}{\sigma_R} = 1.94 \cdot 10^{-0.137554 \cdot N} \quad (37)$$

## 2.2 Lei de Miner

Ver exercício nº 18 resolvido na página 48 da sebenta [1].

## Referências

- [1] Castro, Paulo M S Tavares De: *Dimensionamento à fadiga*. Órgãos de Máquinas, DEMec, Faculdade de Engenharia da Universidade do Porto, 2017.
- [2] Juvinall, Robert C. e Kurt M. Marshek: *FUNDAMENTALS OF MACHINE COMPONENT DESIGN*. Wiley, 2017.
- [3] Budynas, Richard G.: *Shigley's mechanical engineering design*. McGraw-Hill, 2014, ISBN 9789339221638.